

# Il Gambero della Louisiana nel Parco delle Alpi Marittime

Matteo Bracco, Cecilia Zannotti, Marco Lugarà

30 maggio 2024

## 1 E-mail

Email dei partecipanti

- Matteo Bracco: matteo.bracco198@edu.unito.it
- Cecilia Zannotti: cecilia.zannotti@edu.unito.it
- Marco Lugarà: marco.lugara@edu.unito.it

## 2 Problematica

Il Gambero della Louisiana, *Procambarus Clarkii*, è stato introdotto in Italia tramite acquacultura. La specie è particolarmente edace e distruttrice, si adatta bene a quasi tutti i contesti di acqua dolce o salmastra[1]. Le principali problematiche relative alla loro presenza sono

- Diffusione di malattie, in particolare la peste del gambero (*Aphanomyces astaci*) nelle specie di gambero d'acqua dolce autoctone dell'Italia, come *Austropotamobius pallipes italicus*, già minacciate da altri fattori fra i quali l'inquinamento delle acque. La diffusione non avviene per contatto diretto fra gamberi; il gambero autoctono viene infettato dalle spore del fungo, che possono essere trasportate tramite attrezzatura da pesca per esempio, oppure dal gambero della Louisiana, che possiamo considerare come portatore sano della malattia.
- È un animale onnivoro estremamente vorace, si ciba di uova, avanotti, piccoli anfibi, per esempio nel Parco del delta del Po ha causato l'estinzione del 45% delle specie di Odonati (insetti simili alle libellule) [2]. Studiando il fenomeno all'interno del Parco delle Alpi Marittime, potrebbe essere interessante la relazione con specie endemiche come lo Scazzone, nel caso possano esistere dei pericoli.
- Produce anche danni economici, per esempio mangia i germogli nelle risaie; danni geologici, per lo scavo degli argini in cui crea le sue tane; inoltre è ospite di parassiti intermedi pericolosi per uomini e animali da compagnia.

## 3 Possibili Azioni

Al fine di inquadrare al meglio la situazione ed avere un parere diretto sul fenomeno, abbiamo contattato il Parco delle Alpi Marittime e ci siamo fatti spiegare meglio quali sono i pericoli attuali e quali possono essere le modalità per affrontarli.

Per il momento, il Parco ha solamente iniziato un'attività volta a monitorare la presenza di questo gambero nelle sue acque, sarebbe interessante analizzare alcune tecniche volte all'eliminazione della specie, come previsto dal Piano Nazionale [1]. Alcune azioni possono essere: introdurre esemplari di

maschi sterili insieme ad una cattura intensiva tramite nasse, volta a limitare la densità di popolazione, oppure aumentare i predatori indigeni (uccelli, trote), [3], [1].

Date le precedenti considerazioni, elenchiamo di seguito alcune popolazioni che potrebbero essere analizzate nel modello.

- Gambero della Louisiana *Procamburus Clarkii*  $L$
- IL Gambero d'acqua dolce *Austropotamobius pallipes italicus*  $G$ .
- La Peste del gambero, *Aphanomyces astaci*, eventualmente separando spore  $Z$  dai funghi sul gambero  $F$
- Possibili prede (Scazzone, Odonati)  $S$
- Possibili predatori (Trote o Uccelli).

## 4 Primo Modello

Abbiamo deciso di analizzare la sopravvivenza del Gambero autoctono in presenza del Gambero della Louisiana e della Peste del gambero; ci concentriamo quindi sull'interazione tra le due specie di gambero e la diffusione della malattia, mentre le prede comuni e i predatori di gamberi non compariranno direttamente all'interno del modello, per contenere il numero di popolazioni.

Dunque consideriamo, in partenza, cinque popolazioni per un primo modello:

- Zoospore del fungo  $Z$
- Il Fungo Peste del gambero allo stato riproduttivo  $F$
- Gamberi della Louisiana totali  $L$
- Gamberi delle Louisiana infetti  $I$
- Gamberi Autoctoni  $G$

$Z$  Il Fungo adulto  $F$  produce in media  $c_1$  spore. Le spore nell'acqua muoiono con un rate  $m_1$ , inoltre vi sono i termini di migrazione quando avviene l'infezione delle Zoospore  $Z$ .

$F$  la variazione dei Funghi adulti  $F$  è proporzionale alla popolazione di Gamberi della Louisiana infetti, dove  $c_2$  rappresenta il numero medio di Funghi per individuo infetto, inoltre diminuisce con rate  $m_2$ .

$L$  Dato che non risente della malattia, la variazione della popolazione dei Gamberi della Louisiana, ha due componenti, una demografica e una di competizione con il gambero nostrano  $G$  determinata dal coefficiente  $a_2$ .

$I$  I gamberi della Louisiana si infettano a causa dell'incontro con Zoospore  $Z$  nell'ambiente, con un tasso  $\gamma_2$ , ma poichè non risentono della malattia hanno un tasso di mortalità pari a quello dei Gamberi della Louisiana totali  $L$ .

$G$  I gamberi nostrani muoiono non appena contraggono la malattia, inoltre vi è competizione con  $L$ , determinata dal coefficiente  $a_1$ , e infine la parte demografica, che segue il modello logistico.

*Nota* La competizione tra i due gamberi è molto a sfavore del gambero autoctono. Nella realtà, quindi, molto probabilmente si avrà che  $a_1 > a_2$ .

$$\begin{cases} \dot{Z} = c_1 F - m_1 Z - \gamma_2 LZ - \gamma_1 GZ \\ \dot{F} = c_2 I - m_2 F \\ \dot{G} = -\gamma_1 GZ - a_1 GL + b_1 G - m_3 G^2 \\ \dot{L} = -a_2 GL + b_2 L - m_4 L^2 \\ \dot{I} = \gamma_2 LZ - m_4 I \end{cases}$$

Analizziamo i vari pezzi di ogni equazione:

#### Equazione 1

- $c_1 F$ : incremento di spore, dovuto alla produzione dei funghi
- $-m_1 Z$ : diminuzione delle spore, relativo al tasso di mortalità  $m_1$
- $-\gamma_1 GZ$ : diminuzione delle spore dovute all'infezione di  $G$ , passano nella popolazione di  $F$
- $-\gamma_2 LZ$ : diminuzione delle spore dovute all'infezione di  $L$ , passano nella popolazione di  $F$

#### Equazione 2

- $c_2 I$ : incremento di funghi proporzionale al numero di gamberi infetti  $I$
- $-m_2 F$ : diminuzione dei funghi, rispetto al tasso di mortalità  $m_2$

#### Equazione 3

- $-a_2 GL$ : diminuzione di  $L$  dovuta alla competizione con  $G$
- $b_2 L - m_4 L^2$ : modello di crescita logistica per  $L$ , notare che la capacità portante è data da  $\frac{b_2}{m_4}$

#### Equazione 4

- $\gamma_2 LZ$ : incremento degli infetti nella popolazione di  $L$
- $-m_4 I$ : diminuzione dei gamberi infetti, rispetto al tasso di mortalità  $m_4$  condiviso con la popolazione totale  $L$

#### Equazione 5

- $-\gamma_1 GZ$ : morte istantanea nei gamberi  $G$ , dovuta all'infezione
- $-a_1 GL$ : diminuzione di  $G$  dovuta alla competizione con  $L$
- $b_1 G - m_3 G^2$ : modello logistico per  $G$  con capacità portante  $\frac{b_1}{m_3}$

Ci rendiamo però conto che con questo modello quando un individuo di  $L$  viene infettato passa in  $I$ , allora correggiamo l'errore come segue

$$\begin{cases} \dot{Z} = c_1 F - m_1 Z - \gamma_2 LZ - \gamma_1 GZ \\ \dot{F} = c_2 I - m_2 F \\ \dot{G} = -\gamma_1 GZ - a_1 GL + b_1 G - m_3 G^2 \\ \dot{L} = -a_2 GL + b_2 L - m_4 L^2 - \gamma_2 LZ \\ \dot{I} = \gamma_2 LZ - m_4 I \end{cases}$$

Tuttavia qualcosa continua ad essere errato dato che, in realtà,  $L$  ed  $I$  non sono popolazioni completamente diverse, sono piuttosto una la sottopopolazione dell'altra e la loro variazione è essenzialmente la stessa.

## 5 Secondo Modello

Riteniamo dunque che sia opportuno rimuovere  $I$  dal modello e consideriamo che i Funghi  $F$  varino al variare delle infezioni del Gambero della Louisiana  $L$ . Il nuovo modello sarà allora il seguente

$$\begin{cases} \dot{Z} = c_1 F - m_1 Z - \gamma_2 LZ - \gamma_1 GZ \\ \dot{F} = c_2 \gamma_2 LZ - m_2 F \\ \dot{G} = -\gamma_1 GZ - a_1 LG + b_1 G - m_3 G^2 \\ \dot{L} = -a_2 LG + b_2 L - m_4 L^2 \end{cases}$$

In particolare il pezzo  $c_2 \gamma_2 LZ - m_2 F$  spiega che  $F$  varia con il numero di infezioni, dove  $c_2$  è il numero medio di funghi per infezione.

Inoltre osserviamo che nell'equazione di  $L$  non c'è più il pezzo  $-\gamma_2 LZ$ , in quanto abbiamo eliminato la variabile  $I$ .

Infine decidiamo di inserire un termine di sopravvivenza del Fungo anche sui Gamberi di acqua dolce, cioè il Fungo continua a vivere e produrre spore per un periodo breve (quantificato da  $\lambda$  piccolo) anche se il Gambero è già morto, [5], [6]:  $c_2 \lambda \gamma_1 GZ$ .

Inoltre ci accorgiamo, dai conti, che manca un termine di interazione intraspecifica per le Zoospore:  $a_3 Z^2$ .

$$\begin{cases} \dot{Z} = c_1 F - m_1 Z - \gamma_2 LZ - \gamma_1 GZ - \mathbf{a_3 Z^2} \\ \dot{F} = c_2 (\gamma_2 LZ + \lambda \gamma_1 \mathbf{GZ}) - m_2 F \\ \dot{G} = -\gamma_1 GZ - a_1 LG + b_1 G - m_3 G^2 \\ \dot{L} = -a_2 LG + b_2 L - m_4 L^2 \end{cases}$$

Riassumendo, i termini differenti dal modello precedente:

### Equazione 1

- $c_1 F$ : incremento di spore, dovuto alla produzione dei funghi
- $-m_1 Z$ : diminuzione delle spore, relativo al tasso di mortalità  $m_1$
- $-\gamma_1 GZ$ : diminuzione delle spore dovute all'infezione di  $G$ , passano nella popolazione di  $F$
- $-\gamma_2 LZ$ : diminuzione delle spore dovute all'infezione di  $L$ , passano nella popolazione di  $F$
- $-a_3 Z^2$ : diminuzione delle spore per interazione interspecifica con tasso  $a_3$

### Equazione 2

- $c_2 \gamma_2 LZ$ : variazione di  $F$  dovuta alla infezione di gamberi  $L$ , dove  $c_2$  è il numero medio di funghi prodotti per infezione
- $c_2 \lambda \gamma_1 GZ$ : variazione di  $F$  dovuta alla sopravvivenza del fungo, per un breve periodo indicato da  $\lambda$ , su gamberi  $G$  morti a seguito dell'infezione, dove  $c_2$  è il numero medio di funghi prodotti per infezione
- $-m_2 F$ : variazione istantanea di  $F$  dovuta alla morte dei funghi

## MODELLO FINALE

$$\left\{ \begin{array}{l} \dot{Z} = c_1 F - m_1 Z - \gamma_2 L Z - \gamma_1 G Z - a_3 Z^2 \\ \dot{F} = c_2 (\gamma_2 L Z + \lambda \gamma_1 G Z) - m_2 F \\ \dot{G} = -\gamma_1 G Z - a_1 L G + b_1 G - m_3 G^2 \\ \dot{L} = -a_2 L G + b_2 L - m_4 L^2 \end{array} \right. \quad \begin{array}{l} (1) \\ (2) \\ (3) \\ (4) \end{array}$$

### Tabellina riassuntiva per i Parametri

- $a_1$  = competizione interspecifica  $L, G$  di cui risente  $G$
- $a_2$  = competizione interspecifica  $L, G$  di cui risente  $F$
- $a_3$  = fattore di competizione intraspecifico di  $Z$
- $b_1$  = tasso di crescita di  $G$
- $b_2$  = tasso di crescita di  $L$
- $c_1$  = numero medio di spore  $Z$  prodotte da un fungo  $F$
- $c_2$  = numero medio di funghi  $F$  prodotti per ogni infezione
- $m_1$  = tasso di mortalità di  $Z$
- $m_2$  = tasso di mortalità di  $F$
- $m_3$  = fattore di competizione<sup>1</sup> intraspecifica per  $G$
- $m_4$  = fattore di competizione<sup>2</sup> intraspecifica per  $L$
- $\lambda$  = fattore che tiene conto della sopravvivenza del fungo  $F$  sulle carcasse del gambero  $G$
- $\gamma_1$  = tasso di infezione delle spore  $Z$  sul gambero  $G$
- $\gamma_2$  = tasso di infezione delle spore  $Z$  sul gambero  $L$

---

<sup>1</sup>corrisponde al rapporto fra rate di crescita e capacità portante per  $G$

<sup>2</sup>corrisponde al rapporto fra rate di crescita e capacità portante per  $L$

## 6 Equilibri e Ammissibilità

Analizziamo gli Equilibri di questo modello. Di seguito la Tabella Binaria, Tabella 1.

Z	F	G	L			
0	0	0	0	✓	$E_0 = (0, 0, 0, 0)$	
0	0	0	1	✓	$E_1 = (0, 0, 0, \frac{b_2}{m_4})$	$b_2L - m_4L^2 = 0 \implies L_1 = \frac{b_2}{m_4}$
0	0	1	0	✓	$E_2 = (0, 0, \frac{b_1}{m_3}, 0)$	$b_1G - m_3G^2 = 0 \implies G_2 = \frac{b_1}{m_3}$
0	0	1	1	✓*	$E_3$	dettagli dopo la tabella
0	1	0	0	✗	Eq 2 (F)	$-m_2F = 0$
0	1	0	1	✗	Eq 2 (F)	$-m_2F = 0$
0	1	1	0	✗	Eq 2 (F)	$-m_2F = 0$
0	1	1	1	✗	Eq 1 (Z)	$c_1F = 0$
1	0	0	0	✗	Eq 1 (Z)	$-m_1Z - a_3Z^2 = 0 \implies Z = -\frac{m_1}{a_3}$ non ammissibile
1	0	0	1	✗	Eq 2 (F)	$c_2\gamma_2LZ = 0 \implies L = 0 \vee Z = 0$
1	0	1	0	✗	Eq 2 (F)	$c_2\lambda\gamma_1GZ = 0 \implies G = 0 \vee Z = 0$
1	0	1	1	✗	Eq 2 (F)	$c_2(\gamma_2LZ + \lambda\gamma_1GZ) = 0 \implies Z = 0 \vee L = -\frac{\lambda\gamma_1}{\gamma_2}G$
1	1	0	0	✗	Eq 2 (F)	$-m_2F = 0$
1	1	0	1	✓*	$E_5$	dettagli dopo la tabella
1	1	1	0	✓*	$E_4$	dettagli dopo la tabella
1	1	1	1	✓*	$E_6$	dettagli dopo la tabella

Tabella 1: Tabella Binaria

Vediamo a parte le condizone di ammissibilità per gli equilibri  $E_3, E_4, E_5, E_6$ .

$E_3$

Qui abbiamo  $Z = F = 0$ . Il sistema diventa

$$\begin{cases} \dot{Z} = 0 \\ \dot{F} = 0 \\ \dot{G} = -a_1LG + b_1G - m_3G^2 = 0 \\ \dot{L} = -a_2LG + b_2L - m_4L^2 = 0 \end{cases}$$

Ci si riduce quindi ad un modello di competizione intraspecifica fra le due specie di gamberi. Semplificando  $L$  e  $G$  nelle due equazioni, risolvendo per  $G$  e sostituendo nella quarta equazione ( $\dot{L} = 0$ ) quanto trovato, otteniamo

$$\begin{cases} G_3 = \frac{b_1 - a_1L_3}{m_3} \\ -a_2\frac{b_1 - a_1L_3}{m_3} + b_2 - m_4L_3 = 0 \end{cases}$$

Possiamo allora ricavare  $L_3$  e poi  $G_3$  sostituendo a ritroso. Posto  $D = a_2a_1 - m_4m_3$  si ha

$$\begin{cases} Z_3 = 0 \\ F_3 = 0 \\ G_3 = \frac{a_1b_2 - b_1m_4}{D} = \frac{N_1}{D} \\ L_3 = \frac{a_2b_1 - b_2m_3}{D} = \frac{N_2}{D} \end{cases}$$

Ossia il punto è dato da  $E_3 = (0, 0, \frac{N_1}{D}, \frac{N_2}{D})$ .

Dovremo allora avere che i segni dei due numeratori  $N_i$  coincidono con quello di  $D$ , e quindi anche fra di loro. Per avere entrambi i numeratori positivi, si può trovare come condizione sugli  $a_i$ :

$$\begin{cases} a_1 > \frac{b_1 m_4}{b_2} \\ a_2 > \frac{b_2 m_3}{b_1} \end{cases} \quad (5)$$

Notiamo che se vale 5 allora  $D$  è automaticamente positivo:

$$D > \frac{b_1 m_4}{b_2} \frac{b_2 m_3}{b_1} - m_4 m_3 = 0$$

Il caso in cui  $N_i$  e  $D$  sono positivi e quindi equivalente alla condizione data in 5. Analogamente, il caso per cui  $N_i, D$  sono tutti negativi si ha con i versi opposti

$$\begin{cases} a_1 < \frac{b_1 m_4}{b_2} \\ a_2 < \frac{b_2 m_3}{b_1} \end{cases} \quad (6)$$

Infatti in questo caso

$$D < \frac{b_1 m_4}{b_2} \frac{b_2 m_3}{b_1} - m_4 m_3 = 0$$

Quindi l'equilibrio è ammissibile quando vale 5 oppure 6, abbiamo la condizione di ammissibilità

$$\begin{cases} a_1 < \frac{b_1 m_4}{b_2} \\ a_2 < \frac{b_2 m_3}{b_1} \end{cases} \text{ oppure } \begin{cases} a_1 > \frac{b_1 m_4}{b_2} \\ a_2 > \frac{b_2 m_3}{b_1} \end{cases}$$

Il che non è così ovvio da interpretare.

$E_4$

Il sistema con  $L = 0$  diventa

$$\begin{cases} \dot{Z} = c_1 F - m_1 Z - \gamma_1 G Z - a_3 Z^2 \\ \dot{F} = c_2 \lambda \gamma_1 G Z - m_2 F \\ \dot{G} = -\gamma_1 G Z + b_1 G - m_3 G^2 \\ \dot{L} = 0 \end{cases}$$

Chiamiamo  $A = c_2 \lambda \gamma_1$  che è una quantità strettamente positiva. Da  $\dot{F} = 0$  ricaviamo

$$F_4 = \frac{A}{m_2} G_4 Z_4$$

Invece da  $\dot{G} = 0$  ricaviamo

$$G_4 = \frac{b_1 - \gamma_1 Z_4}{m_3}$$

Sostituendo  $G_4, F_4$  in  $\dot{Z} = 0$  si ricava la seguente espressione per  $Z$ :

$$-\frac{c_1 A (Z \gamma_1 - b_1) Z}{m_3 m_2} - m_1 Z - a_3 Z^2 + \frac{\gamma_1 (Z \gamma_1 - b_1) Z}{m_3}$$

Da cui

$$Z_4 = \frac{A b_1 c_1 - b_1 \gamma_1 m_2 - m_1 m_2 m_3}{A c_1 \gamma_1 + a_3 m_2 m_3 - \gamma_1^2 m_2}$$

Possiamo allora riscriverci l'equilibrio  $E_4$  come

$$E_4 = \begin{cases} Z_4 = \frac{Ab_1c_1 - b_1\gamma_1m_2 - m_1m_2m_3}{Ac_1\gamma_1 + a_3m_2m_3 - \gamma_1^2m_2} \\ G_4 = \frac{b_1 - \gamma_1Z_4}{m_3} \\ F_4 = \frac{A}{m_2}G_4Z_4 \\ L_4 = 0 \end{cases}$$

Abbiamo allora due condizioni di ammissibilità che devono essere soddisfatte contemporaneamente,

- $Z_4 > 0$
- $b_1 - \gamma_1Z_4 > 0$

Allora le condizioni sono

$$\begin{cases} Z_4 > 0 \\ Z_4 < \frac{b_1}{\gamma_1} \end{cases}$$

$E_5$

Quando  $G = 0$  il sistema diventa

$$\begin{cases} \dot{Z} = c_1F - m_1Z - \gamma_2LZ - a_3Z^2 = 0 \\ \dot{F} = c_2\gamma_2LZ - m_2F = 0 \\ \dot{G} = 0 \\ \dot{L} = b_2L - m_4L^2 = 0 \end{cases}$$

L'evoluzione dei Gamberi della Louisiana è quindi indipendente dal resto delle variabili, e si ricava subito da  $\dot{L} = 0$  che

$$L_5 = \frac{b_2}{m_4}$$

Sostituendo nell'equazione 2 ( $\dot{F} = 0$ ) otteniamo, posto  $V = \frac{c_2\gamma_2}{m_2} > 0$ :

$$F_5 = \frac{c_2\gamma_2L_5Z_5}{m_2} = VL_5Z_5$$

Sostituendo il tutto in  $\dot{Z} = 0$  otteniamo

$$c_1VL_5Z_5 - m_1Z_5 - a_3Z_5^2 - \gamma_2L_5Z_5 = 0$$

Semplificando  $Z_5$  e risolvendo si ha

$$Z_5 = \frac{1}{a_3}(-m_1 + c_1VL_5 - \gamma_2L_5)$$

La condizione di ammissibilità è allora unica, ed è data da

$$-m_1 + c_1VL_5 - \gamma_2L_5 > 0$$

Possiamo raccogliere  $L_5$  e ottenere

$$m_1 < L_5(c_1V - \gamma_2) = L_5\gamma_2 \left( \frac{c_1c_2}{m_2} - 1 \right)$$

Si nota che se  $c_1c_2 < m_2$  tale condizione non è mai soddisfatta, in quanto r.h.s. diventa negativo. Dunque questo equilibrio è ammissibile solo quando il rate  $m_2$  di mortalità del fungo è più piccolo del prodotto  $c_2c_1$ , indicatore della crescita della malattia.



**E<sub>6</sub>**

Proviamo a studiare l'ammissibilità dell'ultimo equilibrio, in cui coesistono tutte e 4 le specie. Risolvendo la quarta equazione  $\dot{L} = 0$  per  $L$ , si ricava

$$L_6 = \frac{b_2 - a_2 G_6}{m_4}$$

Sostituendo nella terza equazione  $\dot{G} = 0$  ricaviamo anche  $G$  in funzione di  $Z$ , come

$$G_6 = \frac{Z_6 \overbrace{\gamma_1 m_4}^{\alpha_1} + \overbrace{a_1 b_2 - b_1 m_4}^{N_1}}{\underbrace{a_1 a_2 - m_3 m_4}_D} = \frac{\alpha_1 Z_6 + N_1}{D}$$

Se sostituiamo quest'espressione in  $L_6$  ricaviamo

$$L_6 = \frac{-Z_6 \overbrace{a_2 \gamma_1}^{\alpha_2} + \overbrace{a_2 b_1 - b_2 m_3}^{N_2}}{\underbrace{a_1 a_2 - m_3 m_4}_D} = \frac{-\alpha_2 Z_6 + N_2}{D}$$

I termini  $N_1, N_2, D$  sono gli stessi dell'equilibrio  $E_3$ , in pratica quello che otteniamo è una modifica di tale equilibrio dovuto al termine  $Z_6$ . Da queste espressioni, ricaviamo anche nella seconda equazione  $\dot{F} = 0$  l'equilibrio di  $F$  in funzione di quello di  $Z$ , in particolare

$$F_6 = \frac{1}{D} \underbrace{\frac{c_2}{m_2}}_q Z_6 \left[ \underbrace{(\lambda \alpha_1 \gamma_1 - \alpha_2 \gamma_2)}_r Z_6 + \underbrace{\lambda N_1 \gamma_1 + N_2 \gamma_2}_s \right] = \frac{q}{D} Z_6 (r Z_6 + s)$$

Infine sostituendo in  $Z_6$ , si ricava esplicitamente tale equilibrio in funzione dei parametri.

$$Z_6 = \frac{q s c_1 - D m_1 - N_1 \gamma_1 - N_2 \gamma_2}{-q r c_1 + D a_3 + \alpha_1 \gamma_1 - \alpha_2 \gamma_2}$$

Le condizioni di ammissibilità saranno allora

$$\begin{cases} Z_6 > 0 \\ \frac{r \cdot Z_6 + s}{D} > 0 \\ \frac{N_1 + \alpha_1 Z_6}{D} > 0 \\ \frac{N_2 - \alpha_2 Z_6}{D} > 0 \end{cases}$$

## 7 Stabilità

Studiamo, per quanto possibile, la stabilità degli equilibri.

Utilizzeremo spesso il polinomio caratteristico della matrice Jacobiana del sistema, che ha la seguente forma nel caso generale

$$J = \begin{bmatrix} -G\gamma_1 - L\gamma_2 - 2Za_3 - m_1 & c_1 & -Z\gamma_1 & -Z\gamma_2 \\ c_2(G\lambda\gamma_1 + L\gamma_2) & -m_2 & c_2Z\lambda\gamma_1 & c_2Z\gamma_2 \\ -G\gamma_1 & 0 & -2Gm_3 - La_1 - Z\gamma_1 + b_1 & -Ga_1 \\ 0 & 0 & -La_2 & -Ga_2 - 2Lm_4 + b_2 \end{bmatrix}$$

In effetti tale matrice può essere riscritta nella seguente forma

$$M = \begin{bmatrix} -\alpha & c_1 & -h & -l \\ \beta & -m_2 & Q & P \\ -\delta & 0 & b_1 - \omega & -\xi \\ 0 & 0 & -\rho & b_2 - \eta \end{bmatrix}$$

Dove i termini  $h, l, \alpha, \beta, \delta, Q, P, \omega, \eta, \xi, \rho$  sono tutti quanti positivi, poichè la matrice viene calcolata nei punti di equilibrio, il che significa  $Z, F, G, L > 0$ . Nota che al variare degli equilibri, è possibile che alcuni termini nella matrice si annullino, per esempio quando  $Z = 0$ , i coefficienti  $s, l, P, Q$  sono tutti nulli, e quindi può essere fattibile studiare la stabilità.

$E_0$

In  $E_0 = (0, 0, 0, 0)$  La matrice  $J_F$  diventa particolarmente semplice:

$$M_0 = \begin{bmatrix} -m_1 & c_1 & 0 & 0 \\ 0 & -m_2 & 0 & 0 \\ 0 & 0 & b_1 & 0 \\ 0 & 0 & 0 & b_2 \end{bmatrix}$$

Non ricorre quindi passare tramite la riscrittura di  $M$ , e si vede subito che l'equilibrio è instabile, siccome per esempio  $b_1 > 0$ , in particolare abbiamo una sella.

$E_1$

Nel caso di  $E_1 = (0, 0, 0, L_1 = \frac{b_2}{m_4})$ , utilizziamo invece la matrice  $M$ , che con le varie semplificazioni (dovunque ci sono termini proporzionali a  $F, G, Z$  posso mettere 0), diventa

$$M_1 = \begin{bmatrix} -\alpha & c_1 & 0 & 0 \\ \beta & -m_2 & 0 & 0 \\ 0 & 0 & b_1 - \omega & 0 \\ 0 & 0 & -\rho & b_2 - \eta \end{bmatrix}$$

Allora possiamo leggere già due autovalori nelle ultime due posizioni della diagonale:

$$\mu_1 = b_1 - \omega, \quad \mu_2 = b_2 - \eta$$

Da cui avremo le prime due condizioni per la stabilità

$$b_1 < \omega, \quad b_2 < \eta$$

Andiamo ad analizzare le restanti radici del polinomio caratteristico. Esse corrispondono agli autovalori della sottomatrice di  $M$  ottenuta prendendo le prime due righe e due colonne:

$$M_1^{(2,2)} = \begin{bmatrix} -\alpha & c_1 \\ \beta & -m_2 \end{bmatrix}$$

Non ci interessano i valori di tali radici, ma solo che esse siano entrambe negative, il che succede esattamente quando

$$\begin{cases} \det(M_1^{(2,2)}) > 0 \\ \text{tr}(M_1^{(2,2)}) < 0 \end{cases}$$

ossia se le somme delle radici è negativa e il prodotto è positivo. Tali condizioni corrispondono a

$$\begin{cases} \alpha m_2 - \beta c_1 > 0 \\ -\alpha - m_2 < 0 \end{cases}$$

La seconda è sempre verificata, quindi facendo il paio con le condizioni precedenza si avrà stabilità se vale il seguente sistema di condizioni

$$\begin{cases} \alpha m_2 - \beta c_1 > 0 \\ b_1 < \omega \\ b_2 < \eta \end{cases}$$

Torniamo ora ai significati dei parametri per cercare di scrivere le condizioni su  $L_1$ , nello specifico sostituiamo quelli che contengono  $L_1$ . Abbiamo

$$\begin{cases} (L_1\gamma_1 + m_1)m_2 > \beta c_1 \\ L_1 a_1 > b_1 \\ 2L_1 m_4 > b_2 \end{cases}$$

Da cui si ricava, ricordando però che  $L_1 = \frac{b_2}{m_4} > \frac{b_2}{2m_4}$  la seguente condizione

$$L_1 > \max \left\{ \frac{1}{\gamma_1} \left( \frac{\beta c_1}{m_2} - m_1 \right), \frac{b_1}{a_1} \right\}$$

Attenzione però che  $\beta$  dipende da  $L_1$ , e quindi **non** abbiamo un bound su  $L_1$  nella precedente condizione. Tuttavia, essendo  $L_1$  esplicito nei parametri, le condizioni scritte con  $\beta$  non esplicito sono più comode e veloci da utilizzare nei programmi MATLAB. Inoltre sostituire  $\beta$  non porta a bound su  $L_1$ , ma a condizioni più noiose da scrivere

$E_2$

In questo caso abbiamo  $E_2 = (0, 0, G_2 = \frac{b_1}{m_3}, 0)$ . Le semplificazioni permettono di studiare  $M$  nella seguente forma

$$M_2 = \begin{bmatrix} -\alpha & c_1 & 0 & 0 \\ \beta & -m_2 & 0 & 0 \\ -\delta & 0 & b_1 - \omega & -\xi \\ 0 & 0 & 0 & b_2 - \eta \end{bmatrix}$$

Notiamo di nuovo che sulle ultime due posizioni della diagonale compaiono due autovalori, come nel caso precedente, ma attenzione al significato dei parametri:

$$\mu_1 = b_1 - \omega, \quad \mu_2 = b_2 - \eta$$

Di nuovo le condizioni di stabilità che si ricavano da tali autovalori sono

$$b_1 < \omega, \quad b_2 < \eta$$

Adesso studiamo di nuovo la sottomatrice  $M_2^{(2,2)}$ , per capire il segno degli autovalori:

$$M_2^{(2,2)} = \begin{bmatrix} -\alpha & c_1 \\ \beta & -m_2 \end{bmatrix}$$

Ma questa è uguale a quella precedente (in effetti le due matrici  $M_1, M_2$  differiscono solamente in due posizioni, per via dei termini nulli questo non influisce sugli autovalori, attenzione che però i parametri hanno significati diversi nelle due matrici). Abbiamo quindi le stesse condizioni precedenti sui coefficienti di  $M$ , il che si traduce però in condizioni diversi su  $G_2$

$$\begin{cases} \alpha m_2 - \beta c_1 > 0 \\ b_1 < \omega \\ b_2 < \eta \end{cases}$$

Sostituendo tutto tranne  $\beta$ , otteniamo che

$$\begin{cases} (G_2\gamma_1 + m_1)m_2 > \beta c_1 \\ 2G_2 m_3 > b_1 \\ G_2 a_2 > b_2 \end{cases}$$

Analogamente al caso di  $L_2$ , possiamo scrivere tali condizioni come

$$G_2 > \max \left\{ \frac{1}{\gamma_1} \left( \frac{\beta c_1}{m_2} - m_1 \right), \frac{a_2}{b_2} \right\}$$

Infatti la seconda condizione è sempre soddisfatta anche qua, mentre di nuovo ricordiamo che  $\beta$  dipende da  $G_2$ , e quindi questo **non** è un bound per  $G_2$ , ma è solo comodo per riscrivere il codice aver la condizione compatta e leggibile.

$E_3$ 

Prendiamo ora l'equilibrio  $E_3 = (0, 0, L_3, G_3)$  dove  $G_3 = \frac{N_1}{D}, L_3 = \frac{N_2}{D}$ . In tal caso  $M$  si riduce a

$$M_3 = \begin{bmatrix} -\alpha & c_1 & 0 & 0 \\ \beta & -m_2 & 0 & 0 \\ -\delta & 0 & b_1 - \omega & -\xi \\ 0 & 0 & -\rho & b_2 - \eta \end{bmatrix}$$

Qui non abbiamo più la fortuna di vedere ad occhio già alcuni autovalori, ma per fortuna, si riesce a fattorizzare il polinomio caratteristico di  $M_3$  in due fattori quadratici:

$$p(M_3, \mu) = \underbrace{(\mu^2 + \eta\mu + \eta\omega - \eta b_1 + \mu\omega - \mu b_1 - \mu b_2 - b_2\omega - \rho\xi + b_2b_1)}_{p_1} \underbrace{(\alpha\mu + m_2\alpha - \beta c_1 + \mu^2 + \mu m_2)}_{p_2}$$

Ricordiamo ora che, data una matrice due per due  $A$ , il suo polinomio caratteristico  $p_A$  si riscrive come

$$\mu^2 + A_1\mu + A_2 = \mu^2 - (tr(A))\mu + det(A)$$

Le condizioni per avere autovalori negativi in questi polinomi saranno dati da

$$\begin{cases} A_1 > 0 \\ A_2 > 0 \end{cases}$$

In pratica bisogna ricordarsi di cambiare il segno al secondo coefficiente che esprime la condizione sulla traccia, e quindi il verso. Dunque per  $P_1$  abbiamo

$$\begin{cases} \eta + \omega - b_1 - b_2 > 0 \\ \eta\omega - \eta b_1 - b_2\omega - \rho\xi + b_2b_1 > 0 \end{cases} \quad (p_1)$$

Mentre per  $p_2$

$$\begin{cases} \alpha + m_2 > 0 \\ m_2\alpha - \beta c_1 > 0 \end{cases} \quad (p_2)$$

La prima condizione in per  $p_2$  è sempre vera. Quindi rimangono le seguenti condizioni:

$$\begin{cases} \eta + \omega - b_1 - b_2 > 0 \\ \eta\omega - \eta b_1 - b_2\omega - \rho\xi + b_2b_1 > 0 \\ m_2\alpha - \beta c_1 > 0 \end{cases}$$

In questo caso, pure ritornando a  $G_2, L_2$ , le condizioni rimangono abbastanza misteriose e non si cavano molti ragni dal buco, quindi prendiamole così come vengono. In effetti sarebbe un sistema di equazioni di secondo grado.

 $E_4$ 

Consideriamo l'equilibrio  $E_4 = (Z_4, F_4, G_4, 0)$  da cui otteniamo

$$M_4 = \begin{bmatrix} -\alpha & c_1 & -h & -l \\ \beta & -m_2 & Q & P \\ -\delta & 0 & b_1 - \omega & -\xi \\ 0 & 0 & 0 & b_2 - \eta \end{bmatrix}$$

L'ultimo autovalore è di nuovo  $b_2 - \eta$ , ma qua  $\eta$  dipende da  $G$  e non da  $L$ , quindi non è automaticamente negativo. Fattorizzando il termine lineare relativo a tale radice nel polinomio caratteristico, ci rimane un polinomio di terzo grado:

$$\begin{aligned} p(M_4, \mu) = & (-b_2 + \eta + \mu) (Q\delta c_1 + \alpha\mu^2 + \alpha\mu\omega - \alpha\mu b_1 + \\ & + \alpha\mu m_2 + \alpha\omega m_2 - \alpha b_1 m_2 - \beta\mu c_1 - \beta\omega c_1 + \beta b_1 c_1 - \delta\mu h - \delta h m_2 + \mu^3 + \\ & + \mu^2\omega - \mu^2 b_1 + \mu^2 m_2 + \mu\omega m_2 - \mu b_1 m_2) \end{aligned}$$

Qua non si riescono a trovare direttamente le radici, ma possiamo comunque studiare la stabilità del sistema utilizzando il Criterio di Routh-Hurwitz per polinomi di terzo grado, si veda 1.1 per maggiori dettagli, qui riportiamo solo le condizioni per i polinomi monici di terzo grado.

**Teorema 7.1: Criterio di Routh-Hurwitz per grado 3**

$P(s) = s^3 + A_2s^2 + A_1s + A_0$ , le sue radici hanno tutte parte reale negativa se e solo se  $A_2, A_1, A_0 > 0 \wedge A_2A_1 > A_0$ .

Applicando il criterio a  $p(M_4, \mu)$  otteniamo le condizioni

$$\begin{cases} -b_1 + \omega + m_2 + \alpha > 0 \\ \alpha\omega - \alpha b_1 + \alpha m_2 - \beta c_1 - \delta h + \omega m_2 - b_1 m_2 > 0 \\ Q\delta c_1 + \alpha\omega m_2 - \alpha b_1 m_2 - \beta\omega c_1 + \beta b_1 c_1 - \delta h m_2 > 0 \\ \Omega < \Sigma \end{cases}$$

Dove

$$\begin{aligned} \Sigma &= \alpha^2\omega - \alpha^2b_1 + \alpha^2m_2 - \alpha\beta c_1 - \alpha\delta s + \\ &\quad + \alpha\omega^2 - 2\alpha\omega b_1 + 3\alpha\omega m_2 + \alpha b_1^2 - 3\alpha b_1 m_2 + \\ &\quad + \alpha m_2^2 - \beta\omega c_1 + \beta b_1 c_1 - \beta c_1 m_2 - \delta\omega h + \delta h b_1 - \delta h m_2 + \\ &\quad + \omega^2 m_2 - 2\omega b_1 m_2 + \omega m_2^2 + b_1^2 m_2 - b_1 m_2^2 \\ \Omega &= Q\delta c_1 + \alpha\omega m_2 - \alpha b_1 m_2 - \beta\omega c_1 + \beta b_1 c_1 - \delta h m_2 \end{aligned}$$

$E_5$

Consideriamo l'equilibrio  $E_5 = (Z_5, F_5, 0, L_5)$ . A tale Equilibrio corrisponde la matrice  $M$  data da

$$M_5 = \begin{bmatrix} -\alpha & c_1 & -h & -l \\ \beta & -m_2 & Q & P \\ 0 & 0 & b_1 - \omega & 0 \\ 0 & 0 & -\rho & b_2 - \eta \end{bmatrix}$$

Che è di nuovo particolarmente comoda perchè due autovalori sono già sulla diagonale, come al solito sono  $\mu_1 = b_1 - \omega$  e  $\mu_2 = b_2 - \eta$ . Per farlo bisogna però fattorizzare prima rispetto alla terza riga e poi rispetto alla quarta. I restanti autovalori, come al solito, corrispondono a quelli della matrice  $2 \times 2$

$$\begin{bmatrix} -\alpha & c_1 \\ \beta & -m_2 \end{bmatrix}$$

Abbiamo quindi sempre le stesse condizioni già viste per  $E_1, E_2$ :

$$\begin{cases} \alpha m_2 - \beta c_1 > 0 \\ b_1 < \omega \\ b_2 < \eta \end{cases}$$

Dobbiamo però reinterpretare il risultato in questo caso. Intanto la condizione  $\beta_2 < \eta$  è di nuovo sempre vera, siccome non essendoci  $G$ , si ha di nuovo  $\eta = 2L_5m_4$ , e si procede come nell'equilibrio  $E_1$ , siccome  $L_5 = L_1$ . Inoltre, avendo un'espressione semplice per  $L_5$ , ricaviamo le altre due condizioni per  $Z_5$  in funzione di  $L_5$ :

$$\begin{cases} Z_5 > \frac{c_2 L_5 \gamma_2 c_1 - L_5 \gamma_2 m_2 - m_1 m_2}{2a_3 m_2} \\ Z_5 > \frac{-L_5 a_1 + b_1}{\gamma_1} \end{cases}$$

Che possiamo esprimere come

$$Z_5 > \max \left\{ \frac{c_2 L_5 \gamma_2 c_1 - L_5 \gamma_2 m_2 - m_1 m_2}{2a_3 m_2}, \frac{-L_5 a_1 + b_1}{\gamma_1} \right\}$$

$E_6$

In  $E_6 = (Z_6, F_6, G_6, L_6)$  tutti i termini sono non nulli, e quindi abbiamo

$$M_6 = \begin{bmatrix} -\alpha & c_1 & -h & -l \\ \beta & -m_2 & Q & P \\ -\delta & 0 & b_1 - \omega & -\xi \\ 0 & 0 & -\rho & b_2 - \eta \end{bmatrix}$$

Scrivendo il polinomio caratteristico quartico, che non si fattorizza, otteniamo

$$p(M_6, \mu) = \mu^4 + A_3 \mu^3 + A_2 \mu^2 + A_1 \mu + A_0$$

Dove

$$\begin{aligned} A_0 &= -P\delta\rho c_1 + Q\delta\eta c_1 - Q\delta b_2 c_1 + \\ &\quad + \alpha\eta\omega m_2 - \alpha\eta b_1 m_2 - \alpha\omega b_2 m_2 - \alpha\rho\xi m_2 + \\ &\quad + \alpha b_1 b_2 m_2 - \beta\eta\omega c_1 + \beta\eta b_1 c_1 + \beta\omega b_2 c_1 + \\ &\quad + \beta\rho\xi c_1 - \beta b_1 b_2 c_1 - \delta\eta h m_2 + \delta l \rho m_2 + \delta h b_2 m_2 \\ A_1 &= +Q\delta c_1 + \alpha\eta\omega - \alpha\eta b_1 + \alpha\eta m_2 - \alpha\omega b_2 + \\ &\quad + \alpha\omega m_2 - \alpha\rho\xi + \alpha b_1 b_2 - \alpha b_1 m_2 - \alpha b_2 m_2 - \beta\eta c_1 - \beta\omega c_1 + \\ &\quad + \beta b_1 c_1 + \beta b_2 c_1 - \delta\eta h + \delta l \rho + \delta h b_2 - \delta h m_2 + \\ &\quad + \eta\omega m_2 - \eta b_1 m_2 - \omega b_2 m_2 - \rho\xi m_2 + b_1 b_2 m_2 \\ A_2 &= +\eta\alpha + \alpha\omega - \alpha b_1 - b_2\alpha + \alpha m_2 - \beta c_1 - \delta h + \\ &\quad + \eta\omega - \eta b_1 + \eta m_2 - b_2\omega + \omega m_2 - \rho\xi + b_2 b_1 - b_1 m_2 - b_2 m_2 \\ A_3 &= -b_2 + \eta - b_1 + \omega + m_2 + \alpha \end{aligned}$$

Riutilizziamo il Criterio di Routh-Hurwitz, si veda il Teorema 1.1, riportiamo l'enunciato per un polinomio di quarto grado.

**Teorema 7.2: Criterio di Routh-Hurwitz per grado 4**

Dato un polinomio monico di grado 4,  $P(s) = s^4 + A_3 s^3 + A_2 s^2 + A_1 s + A_0$ , le sue radici hanno tutte parte reale negativa se e solo se  $A_3, A_2, A_1, A_0 > 0 \wedge A_3 A_2 > A_1 \wedge A_3 A_2 A_1 > A_1^2 + A_3^2 A_0$ .

Quindi le condizioni sono

$$\begin{cases} \min\{A_0, A_1, A_2, A_3\} > 0 \\ A_3 A_2 > A_1 \\ A_3 A_2 A_1 > A_1^2 + A_3^2 A_0 \end{cases}$$

## 8 Simulazioni numeriche

### 8.1 Equilibri

Riportiamo di seguito i risultati ottenuti dalle simulazioni numeriche fatte con Matlab.

#### Equilibrio $E_1$

$$\left\{ \begin{array}{l} c_1 = 25 \\ m_1 = 25 \\ \gamma_2 = 0.0075 \\ \gamma_1 = 0.007 \\ a_3 = 4 \\ c_2 = 30 \\ \lambda = 0.005 \\ a_1 = 0.05 \\ a_2 = 1 \\ m_2 = 1 \\ b_1 = 19 \\ b_2 = 7 \\ m_3 = 1 \\ m_4 = 1 \end{array} \right.$$

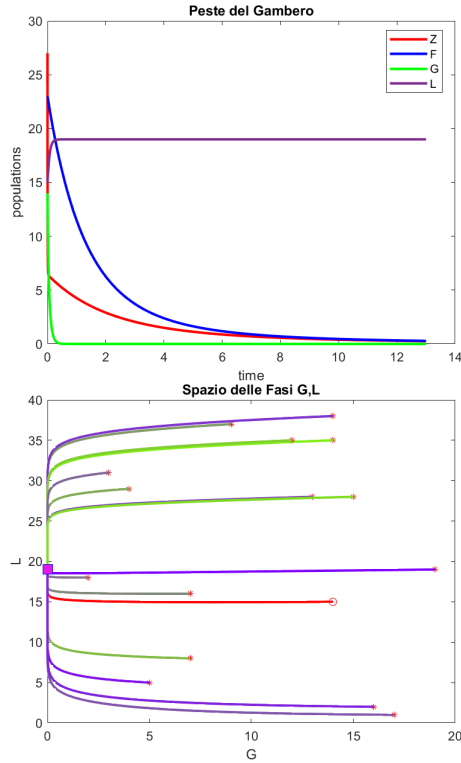


Figura 1: Popolazioni nel tempo e ritratto di fase per l'equilibrio  $E_1$

#### Equilibrio $E_2$

$$\left\{ \begin{array}{l} c_1 = 25 \\ m_1 = 25 \\ \gamma_2 = 0.0075 \\ \gamma_1 = 0.007 \\ a_3 = 4 \\ c_2 = 30 \\ \lambda = 0.005 \\ a_1 = 0.05 \\ a_2 = 1 \\ m_2 = 1 \\ b_1 = 19 \\ b_2 = 7 \\ m_3 = 1 \\ m_4 = 1 \end{array} \right.$$

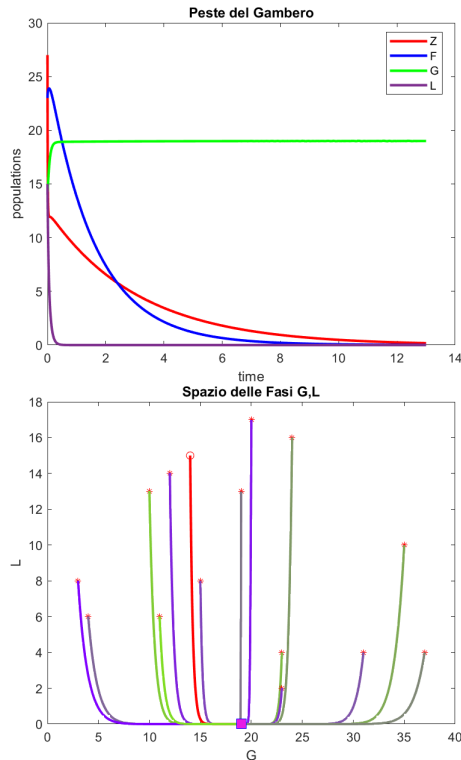


Figura 2: Popolazioni nel tempo e ritratto di fase per l'equilibrio  $E_2$

### Equilibrio $E_3$

$$\left\{ \begin{array}{l} c_1 = 45 \\ m_1 = 40 \\ \gamma_2 = 0.00075 \\ \gamma_1 = 0.0007 \\ a_3 = 4 \\ c_2 = 3 \\ \lambda = 0.005 \\ a_1 = 0.2 \\ a_2 = 0.2 \\ m_2 = 15 \\ b_1 = 19 \\ b_2 = 19 \\ m_3 = 1 \\ m_4 = 1 \end{array} \right.$$

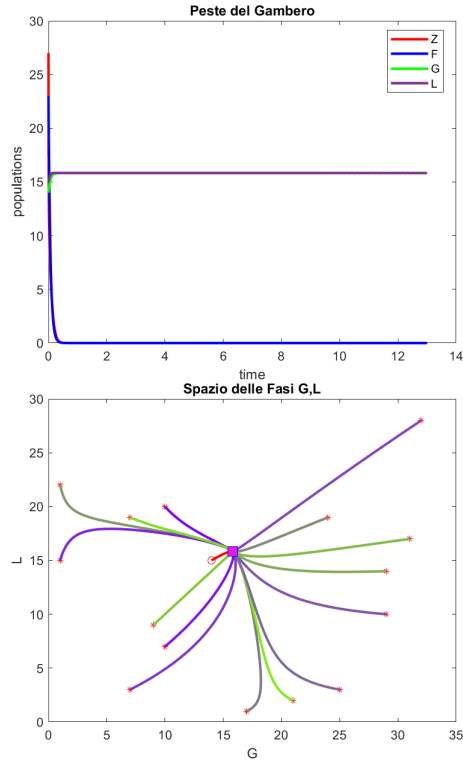


Figura 3: Popolazioni nel tempo e ritratto di fase per l'equilibrio  $E_3$

### Equilibrio $E_4$

$$\left\{ \begin{array}{l} c_1 = 250 \\ m_1 = 2 \\ \gamma_2 = 0.0072 \\ \gamma_1 = 0.0075 \\ a_3 = 4 \\ c_2 = 30 \\ \lambda = 0.5 \\ a_1 = 0.5 \\ a_2 = 1 \\ m_2 = 1 \\ b_1 = 19 \\ b_2 = 7 \\ m_3 = 1 \\ m_4 = 1 \end{array} \right.$$

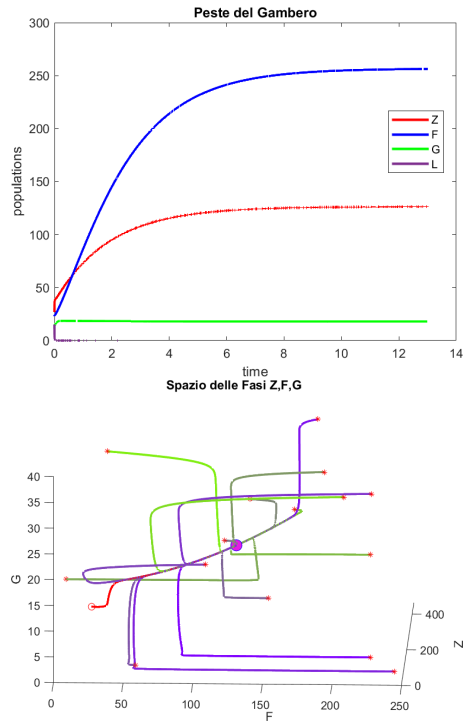


Figura 4: Popolazioni nel tempo e ritratto di fase per l'equilibrio  $E_4$



### Equilibrio $E_5$

$$\left\{ \begin{array}{l} c_1 = 25 \\ m_1 = 2 \\ \gamma_2 = 0.0075 \\ \gamma_1 = 0.007 \\ a_3 = 4 \\ c_2 = 30 \\ \lambda = 0.005 \\ a_1 = 1 \\ a_2 = 0.5 \\ m_2 = 0.64 \\ b_1 = 7 \\ b_2 = 19 \\ m_3 = 1 \\ m_4 = 1 \end{array} \right.$$

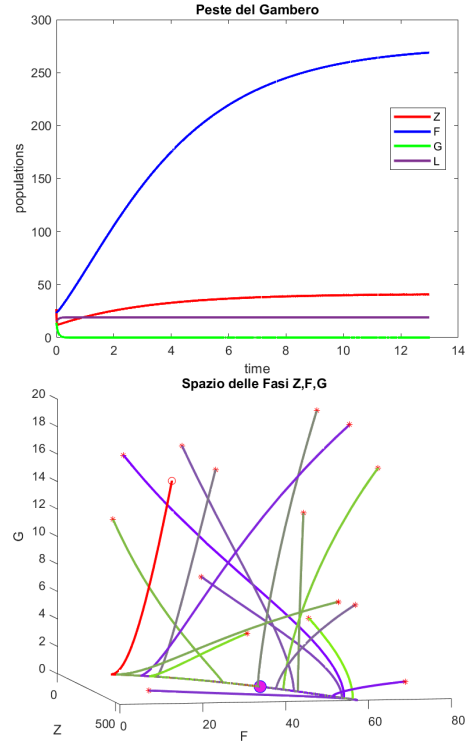


Figura 5: Popolazioni nel tempo e ritratto di fase per l'equilibrio  $E_5$

### Equilibrio $E_6$

$$\left\{ \begin{array}{l} c_1 = 150 \\ m_1 = 6 \\ \gamma_2 = 0.0075 \\ \gamma_1 = 0.007 \\ a_3 = 4 \\ c_2 = 45 \\ \lambda = 0.5 \\ a_1 = 0.2 \\ a_2 = 0.2 \\ m_2 = 7 \\ b_1 = 19 \\ b_2 = 19 \\ m_3 = 1 \\ m_4 = 1 \end{array} \right.$$

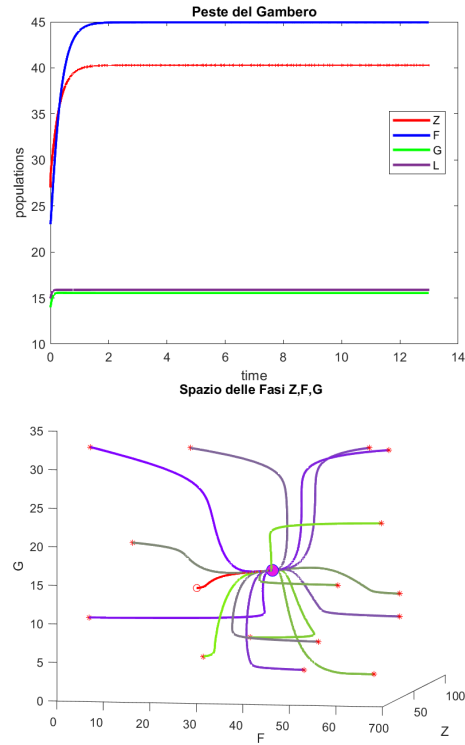


Figura 6: Popolazioni nel tempo e ritratto di fase per l'equilibrio  $E_6$

## 8.2 Bistabilità

È stato anche possibile individuare alcuni casi di bistabilità: per le coppie di equilibri  $(E_4, E_5), (E_2, E_5)$  ed  $(E_1, E_2)$ .

$$\begin{array}{ccc}
 E_4, E_5 : \left\{ \begin{array}{l} c_1 = 250 \\ m : 1 = 2 \\ \gamma_2 = 0.0072 \\ \gamma_1 = 0.0075 \\ a_3 = 4 \\ c_2 = 30 \\ \lambda = 0.5 \\ a_1 = 7 \\ a_2 = 7 \\ m_2 = 1 \\ b_1 = 19 \\ b_2 = 19 \\ m_3 = 1 \\ m_4 = 1 \end{array} \right. & E_2, E_5 : \left\{ \begin{array}{l} c_1 = 250 \\ m_1 = 20 \\ \gamma_2 = 0.0072 \\ \gamma_1 = 0.0075 \\ a_3 = 41 \\ c_2 = 35 \\ \lambda = 0.0005 \\ a_1 = 2 \\ a_2 = 5 \\ m_2 = 1 \\ b_1 = 17 \\ b_2 = 11 \\ m_3 = 1 \\ m_4 = 1 \end{array} \right. & E_1, E_2 : \left\{ \begin{array}{l} c_1 = 45 \\ m_1 = 40 \\ \gamma_2 = 0.00075 \\ \gamma_1 = 0.0007 \\ a_3 = 4 \\ c_2 = 3 \\ \lambda = 0.005 \\ a_1 = 3 \\ a_2 = 3 \\ m_2 = 15 \\ b_1 = 19 \\ b_2 = 19 \\ m_3 = 1 \\ m_4 = 1 \end{array} \right.
 \end{array}$$

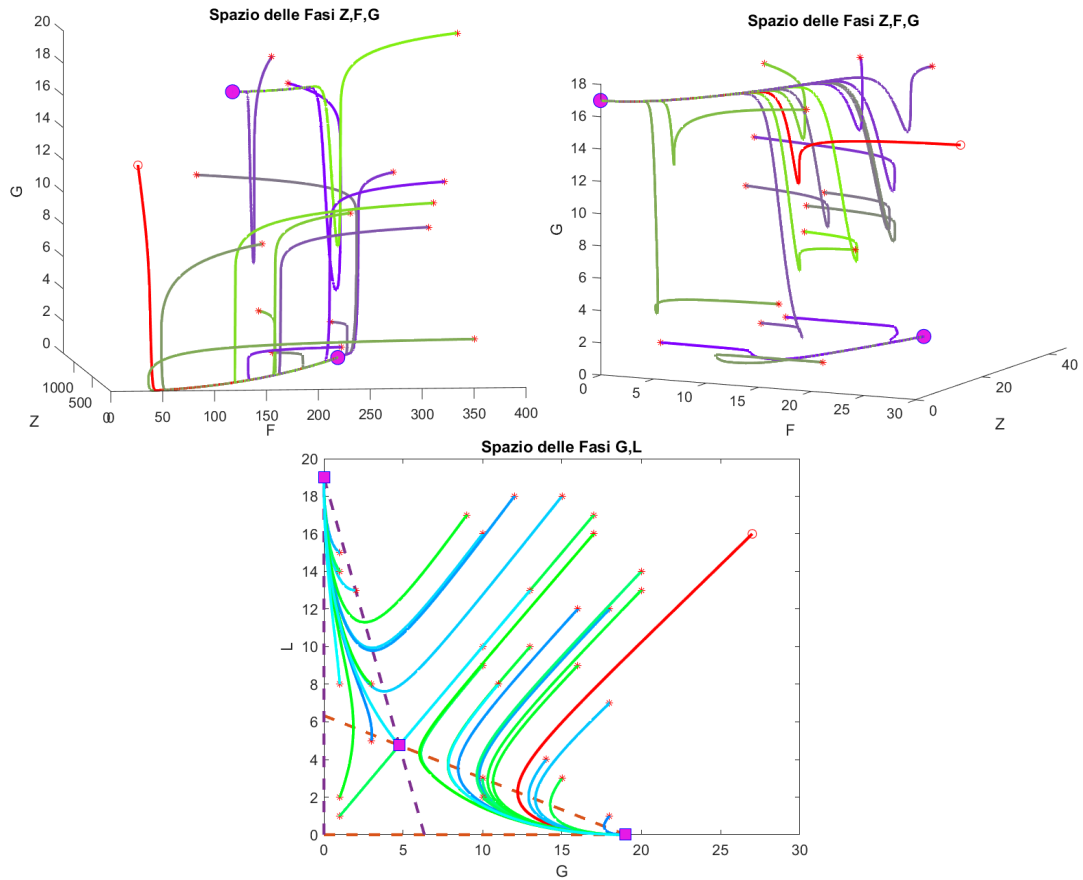


Figura 7: I tre ritratti di fase  $((E_4, E_5), (E_2, E_5))$  ed  $(E_1, E_2)$  nel caso di bistabilità, notare come nella bistabilità di  $E_1, E_2$ , l'equilibrio  $E_3$  che si trova sull'intersezione delle isocline di crescita zero (rette tratteggiate), separi i due bacini d'attrazione.

### 8.3 Biforcazioni di Hopf

Dalle simulazioni numeriche, abbiamo trovato dei valori dei parametri per cui le popolazioni convergono in maniera oscillatoria all'equilibrio  $E_4$ , si veda 2 per i valori. Analizzando inoltre il ritratto di fase nello spazio  $Z, F, G$ , sembrerebbe proprio che l'equilibrio  $E_4$  abbia tutta la faccia di un pozzo a spirale, o il suo analogo in dimensione 4.

$a_1$	$a_2$	$a_3$	$\lambda$	$b_1$	$b_2$	$c_1$	$c_2$	$m_1$	$m_2$	$m_3$	$m_4$	$\gamma_1$	$\gamma_2$
20	0.2	0.2	0.5	40	4	10	10	20	1	0.2	6	0.35	0.07

Tabella 2: Tabella dei parametri utilizzati per la Figura 8.

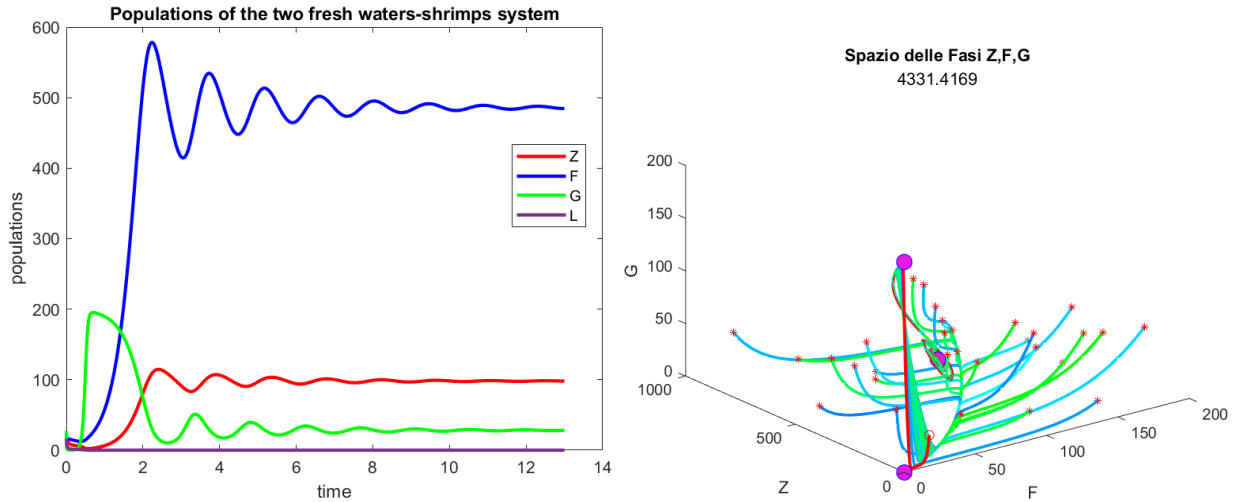


Figura 8: Popolazioni nel tempo e ritratto di fase per l'equilibrio  $E_4$  con  $\gamma_1 = 0.35$

Inoltre, incrementando il rate d'infezione sui gamberi autoctoni, la stabilità di  $E_4$  scompare e le traiettorie convergono verso un ciclo limite.

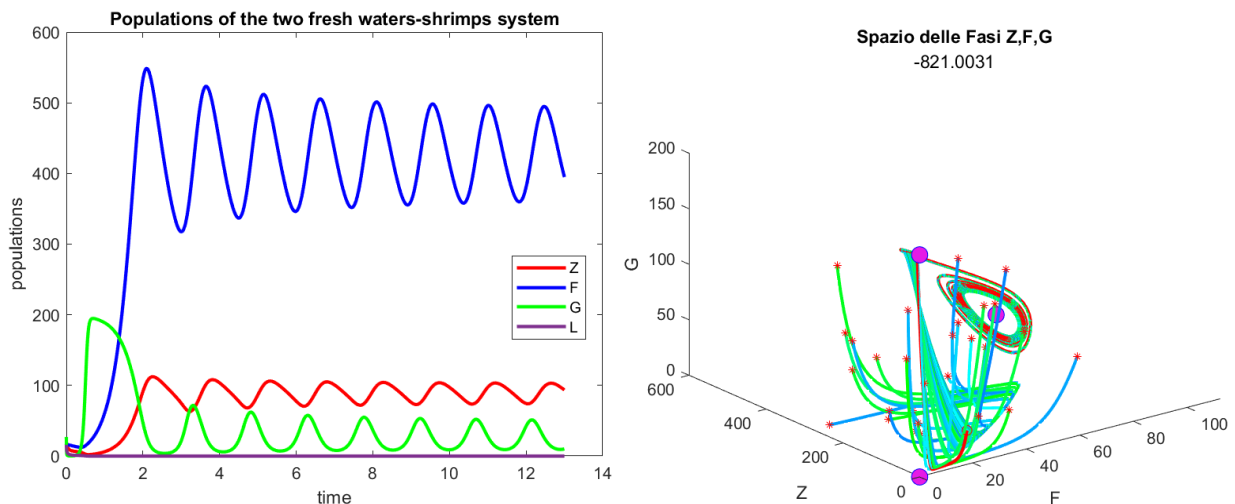


Figura 9: Popolazioni nel tempo e ritratto di fase per l'equilibrio  $E_4$ , con  $\gamma_1 = 0.39$

Insomma sembrerebbe proprio che sia comparsa una biforcazione di Hopf. In effetti si può constatare che a cambiare di segno è l'ultima condizione dell'equilibrio  $E_4$  dovuta a Routh-Hurwitz, come si può vedere sotto ai titoli delle figure 8 e 9. Ricordiamo che tale quantità è data da

$$A_2 A_1 - A_0 \quad (7)$$

con gli appositi coefficienti del polinomio di terzo grado.

Abbiamo allora cercato quale valore di  $\gamma_1$ , compreso fra 0.35 e 0.39 annullasse 7. Si trova che tale valore vale circa 0.3822914034, come si può constatare da 10, in effetti inserendo tale valore nelle simulazioni si vede che si è poco dopo il valore esatto di biforcazione (si è appena formato il ciclo limite, e la condizione di R-H 7 è quasi nulla, di poco negativa).

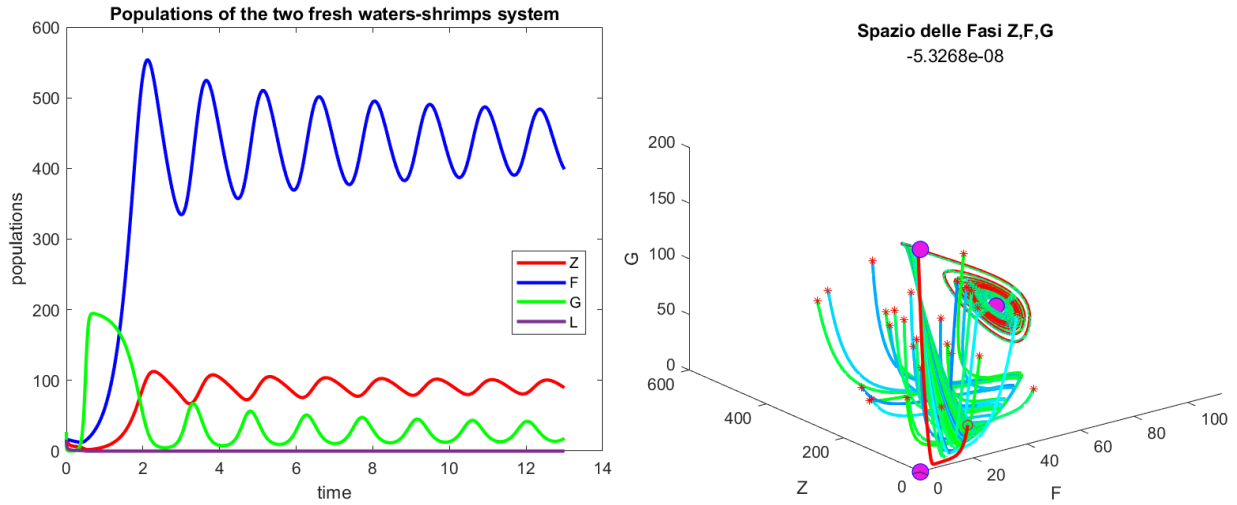


Figura 10: Popolazioni nel tempo e ritratto di fase per l'equilibrio  $E_4$ , con  $\gamma_1 = 0.3822914034$

## A Criterio di Routh-Hurwitz

Consideriamo un polinomio di grado  $n$  a coefficienti reali della forma

$$p(s) = a_n s^n + a_{n-1} s^{n-1} + \cdots + a_1 s + a_0$$

Diremo **matrice di Routh** del polinomio  $p$  la matrice in  $\mathbb{R}^{n+1,n}$  della forma

$$\begin{bmatrix} a_n & a_{n-2} & a_{n-4} & a_{n-6} & \cdots \\ a_{n-1} & a_{n-3} & a_{n-5} & \cdots \\ b_{n-1} & b_{n-2} & \cdots \\ c_{n-2} & c_{n-3} \end{bmatrix}$$

dove

$$\bullet \quad b_{n-1} = -\frac{\begin{vmatrix} a_n & a_{n-2} \\ a_{n-1} & a_{n-3} \end{vmatrix}}{a_{n-1}}$$

$$\bullet \quad b_{n-2} = -\frac{\begin{vmatrix} a_n & a_{n-4} \\ a_{n-1} & a_{n-5} \end{vmatrix}}{a_{n-1}}$$

$$\bullet \quad c_{n-2} = -\frac{\begin{vmatrix} a_{n-1} & a_{n-3} \\ b_{n-1} & b_{n-2} \end{vmatrix}}{b_{n-1}}$$

$$\bullet \quad c_{n-3} = -\frac{\begin{vmatrix} a_{n-1} & a_{n-5} \\ b_{n-1} & b_{n-3} \end{vmatrix}}{b_{n-1}}$$

Ossia più in generale nel posto  $(i, j)$  della matrice di Routh inseriamo il rapporto fra il determinante della matrice  $2 \times 2$  ottenuta mettendo nella prima colonna, le due precedenti entrate della prima colonna della matrice di Routh (quindi gli elementi al posto  $(i-1, 1)$ ,  $(i-2, 1)$ , e sulla seconda colonna i due precedenti termini della colonna  $j$ -esima della matrice di Routh, ossia gli elementi di posto  $(i-1, j)$ ,  $(i-2, j)$ , e dividendo il tutto per l'elemento in posizione  $(i-1, 1)$ . Se definiamo  $R_{i,j}$  gli elementi della matrice di Routh, questo significa che la costruzione iterativa della matrice di Routh è data da

$$R_{1,j+1} = a_{n-2j}, \quad j = 0, \dots, \left\lfloor \frac{n}{2} \right\rfloor, \quad R_{2,k+1} = a_{n-2k-1}, \quad k = 0, \dots, \left\lfloor \frac{n-1}{2} \right\rfloor$$

$$R_{1,j+1} = 0, \quad j > \left\lfloor \frac{n}{2} \right\rfloor, \quad R_{2,k+1} = 0, \quad k > \left\lfloor \frac{n-1}{2} \right\rfloor$$

$$R_{i,j} = -\frac{\begin{vmatrix} R_{i-2,1} & R_{i-2,j} \\ R_{i-1,1} & R_{i-1,j} \end{vmatrix}}{R_{i-1,1}}$$

Passiamo all'enunciato del teorema di Routh-Hurwitz

**Teorema 1.1: Criterio di Routh-Hurwitz**

Dato un polinomio a coefficienti

$$p(s) = a_n s^n + a_{n-1} s^{n-1} + \dots + a_1 s + a_0, \text{ tale che } a_i \neq 0 \quad \forall i = 1, \dots, n$$

le radici del polinomio  $p$  sono negative se e solo se tutti i coefficienti di  $p$  hanno lo stesso segno e se tutti gli elementi della prima colonna della matrice di Routh hanno lo stesso segno. In particolare, se il polinomio è monico, i coefficienti e i termini della prima colonna devono essere tutti positivi.

Ricordiamo allora nello specifico i criteri nel caso di polinomi monici di grado 3 e 4.

- 1 per  $q(s) = s^3 + A_2 s^2 + A_1 s + A_0$  la matrice di Routh è data da

$$\begin{bmatrix} 1 & A_1 & 0 \\ A_2 & A_0 & 0 \\ \frac{(A_2 A_1 - A_0)}{A_2} & 0 & 0 \\ A_0 & 0 & 0 \end{bmatrix}$$

Ricaviamo allora le seguenti condizioni per avere parte reale negativa in tutte le radici, da Routh-Hurwitz:

$$\begin{cases} A_i > 0, & i = 0, \dots, 2 \\ A_2 A_1 - A_0 > 0 \end{cases}$$

- 2 Prendiamo un polinomio monico di grado tre

$$p(s) = s^4 + A_3 s^3 + A_2 s^2 + A_1 s + A_0$$

Allora, la matrice di Routh è data da

$$\begin{bmatrix} 1 & A_2 & A_0 & 0 \\ A_3 & A_1 & 0 & 0 \\ \frac{A_3 A_2 - A_1}{A_3} & A_0 & 0 & 0 \\ \frac{(A_3 A_2 - A_1) A_1 - A_3^2 A_0}{A_3 A_2 - A_1} & 0 & 0 & 0 \\ A_0 & 0 & 0 & 0 \end{bmatrix}$$

Ne segue che le condizioni per avere tutte le radici di parte reale negativa, date dal criterio di Routh-Hurwitz, sono

$$\begin{cases} A_i > 0, & i = 0, \dots, 3 \\ A_3 A_2 - A_1 > 0 \\ (A_3 A_2 - A_1) A_1 - A_3^2 A_0 > 0 \end{cases}$$

Ossia le stesse per un polinomio di terzo grado, a cui si aggiunge  $A_3 > 0, (A_3 A_2 - A_1) A_1 - A_3^2 A_0 > 0$ .

## Riferimenti bibliografici

- [1] Ministero dell'ambiente e della sicurezza energetica, *Piano di gestione nazionale del Gambero rosso della Louisiana*, 2003, <https://www.mase.gov.it/pagina/piano-di-gestione-nazionale-del-gambero-rosso-della-louisiana>
- [2] LifeClaw, *L'importanza del gambero dolce*, <https://www.lifeclaw.eu/i-gamberi-di-fiume/>
- [3] LifeClaw, *Le azioni*, <https://www.lifeclaw.eu/il-progetto/azioni/>
- [4] Rizzato, Andrea, *Presenza e caratteristiche delle popolazioni di *Procambarus clarkii* (Girard, 1852) nella provincia di Vicenza*, 2015
- [5] Strand, David A and Jussila, Japo and Viljamaa-Dirks, Satu and Kokko, Harri and Makkonen, Jenny and Holst-Jensen, Arne and Viljugrein, Hildegunn and Vrålstad, Trude, *Monitoring the spore dynamics of *Aphanomyces astaci* in the ambient water of latent carrier crayfish*, (Veterinary Microbiology), vol.160, pp.99–107, Elsevier, 2012
- [6] Makkonen, J and Strand, DA and Kokko, H and Vrålstad, T and Jussila, J, *Timing and quantifying *Aphanomyces astaci* sporulation from the noble crayfish suffering from the crayfish plague*, (Veterinary Microbiology), vol.162, pp.750–755, Elsevier, 2013